

# 散射问题

## 1 散射角

对于散射问题，入射与出射角度可以通过 $\rho = \infty$ 给出，进而散射角 $\theta$ 可以表示为：

$$\theta = \pi - [\varphi_f(\rho = \infty) - \varphi_i(\rho = \infty)] \quad (1)$$

对于开普勒问题，由于轨道方程已知 $\rho = p/(1 + e \cos \varphi)$ ，则可以直接求出散射角（当 $e > 1$ ，不然不存在散射轨道）

$$\theta = \pi - 2 \arccos(-\frac{1}{e}) = \pi - 2(\pi - \arccos \frac{1}{e}) = -2 \arcsin \frac{1}{e} \quad (2)$$

这里的负号来源于吸引力。当然，对于给定的问题，它并不会带来困惑。

- 库伦排斥力场。这相当于将开普勒问题中的 $k$ 反号，进而 $p$ 反号

$$\rho = \frac{-p}{1 + e \cos \varphi} = \frac{p}{-1 + e \cos(\varphi + \pi)} \quad (3)$$

显然，我们可以将 $\pi$ 位相吸收到 $\varphi$ 的定义中，从而

$$\rho = \frac{p}{-1 + e \cos(\varphi)} \quad (4)$$

注意到由于能量 $E$ 总是大于零，因为势能总是正， $e > 1$ 。散射角由 $2 \arcsin(1/e)$ 给出。

一般的，如果轨道方程并不知道，散射角可以通过积分得到

$$\theta = \pi - 2 \int_{\rho_0}^{\infty} \frac{d\rho}{\sqrt{\frac{2(E-V)}{mh^2} \rho^4 - \rho^2}} \quad (5)$$

$$= \pi - 2 \int_0^{u_0} \frac{du}{\sqrt{\frac{2(E-V)}{mh^2} - u^2}} \quad (6)$$

其中，极值点 $\rho_0$ （或 $u_0$ ）可以由 $d\rho/d\varphi = 0$ （或 $du/d\varphi = 0$ ）给出：

$$E - V = \frac{mh^2}{2\rho_0^2} = \frac{mh^2 u_0^2}{2} \quad (7)$$

- 开普勒问题中散射角的积分计算。

首先，由极值条件

$$E = \frac{1}{2}mh^2 u_0^2 - ku_0 \quad (8)$$

可以得到

$$u_0 = \frac{k \pm \sqrt{k^2 + 2mh^2E}}{mh^2} = \frac{1 \pm e}{p} \quad (9)$$

负解舍去，只保留  $u_0 = (1 + e)/p$ 。从而散射角为

$$\begin{aligned} \theta &= \pi - 2 \int_0^{u_0} \frac{du}{\sqrt{\frac{2E}{mh^2} + \frac{k^2}{m^2h^4} - \left(u - \frac{k}{mh^2}\right)^2}} \\ &= \pi - 2 \int_0^{u_0} \frac{du}{\sqrt{\frac{e^2}{p^2} - \left(u - \frac{1}{p}\right)^2}} \\ &= \pi - 2 \arcsin(x) \Big|_{x=-1/e}^{x=1} = -2 \arcsin \frac{1}{e} \end{aligned} \quad (10)$$

- 立方反比力场中的散射角。

$$\begin{aligned} \theta &= \pi - 2 \int_0^{u_0} \frac{du}{\sqrt{\frac{2E}{mh^2} - \frac{2ku^2}{mh^2} - u^2}} \\ &= \pi - 2 \sqrt{\frac{mh^2}{2E}} \int_0^{u_0} \frac{du}{\sqrt{1 - \left(\frac{mh^2+2k}{2E}\right) u^2}} \\ &= \pi - 2 \sqrt{\frac{mh^2}{2E} \frac{2E}{mh^2+2k}} \arcsin \left( \sqrt{\frac{mh^2+2k}{2E}} u \right) \Big|_0^{u_0} \\ &= \pi - \pi \sqrt{\frac{mh^2}{mh^2+2k}} \end{aligned} \quad (11)$$

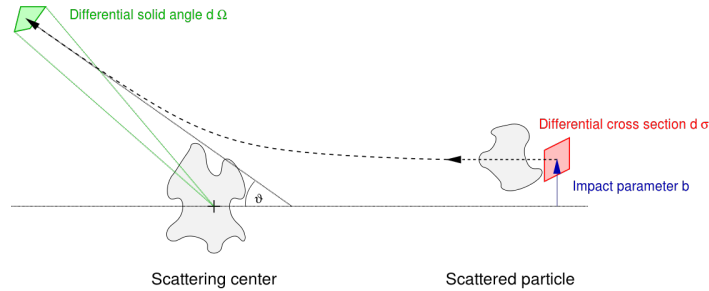


图 1: 散射问题示意图。散射参数  $\ell$  在图中标为  $b$ 。

在描述散射问题时，一般可以引入碰撞参数  $\ell$ ，表示入射线与力心的垂直距离，进而

$$E = \frac{1}{2}mv_i^2, \quad h = v_i\ell \quad (12)$$

这样，就可以用  $\ell$  和  $E$  来表示散射角度。

- 平方反比力。由  $\sin \frac{\theta}{2} = \frac{1}{e}$  得

$$\cot \frac{\theta}{2} = \sqrt{e^2 - 1} = \sqrt{\frac{2mh^2 E}{k^2}} = \sqrt{\frac{2mv^2 \ell^2 E}{k^2}} = \frac{2E\ell}{k} \quad (13)$$

该结论也可以由LRL矢量守恒得到，见作业。

- 立方反比力。

$$\theta = \pi - \pi \sqrt{\frac{E\ell^2}{E\ell^2 + k}} \quad (14)$$

- 硬球散射。由几何关系，可以直接得到

$$\theta = \pi - 2 \arcsin \frac{\ell}{R} \quad (15)$$

## 2 散射截面

散射截面是散射问题的一个重要的物理量，它描写了出射粒子在不同角度的分布，从而可以直接与实验结果比较。在入射端，假定粒子均匀分布，则

$$dN_i = I dS = 2\pi \ell d\ell \quad (16)$$

而在出射端，得到的粒子数是依赖于立体角的。在  $d\Omega$  内，测量到的粒子数是

$$dN_f = I \sigma(\Omega) d\Omega \quad (17)$$

如果粒子数守恒

$$\int dN_i = \int dN_f \quad (18)$$

如果  $\ell$  唯一的对应于一个散射角  $\theta$ ，则

$$2\pi \ell d\ell = 2\pi \sin \theta d\theta \quad (19)$$

从而

$$\sigma(\theta) = \left| \frac{\ell}{\sin \theta} \frac{d\ell}{d\theta} \right| \quad (20)$$

这里，加上绝对值保证结果为正。

- 平方反比力。由  $\cot(\theta/2) = 2E\ell/k$  (式13) 得

$$\frac{d\ell}{d\theta} = -\frac{k}{4E} \frac{1}{\sin^2 \frac{\theta}{2}} \quad (21)$$

代入式20，得

$$\sigma = \frac{k}{4E} \frac{1}{\sin^2 \frac{\theta}{2}} \frac{\frac{k}{2E} \cot \frac{\theta}{2}}{\sin \theta} = \frac{k^2}{16E^2} \frac{1}{\sin^4 \frac{\theta}{2}} \quad (22)$$

这正是卢瑟福公式。

- 立方反比力。由式14得

$$\sigma(\theta) = \frac{1}{\sin \theta} \frac{d(\ell^2/2)}{d\theta} = \frac{k\pi^2(\pi - \theta)}{E\theta^2(2\pi - \theta)^2 \sin \theta} \quad (23)$$

- 硬球散射。由式15得

$$\sigma(\theta) = R^2/4 \quad (24)$$

总散射截面为

$$\sigma = \int \sigma(\theta) 2\pi \sin \theta d\theta = \pi R^2 \quad (25)$$

### 3 实验室参考系

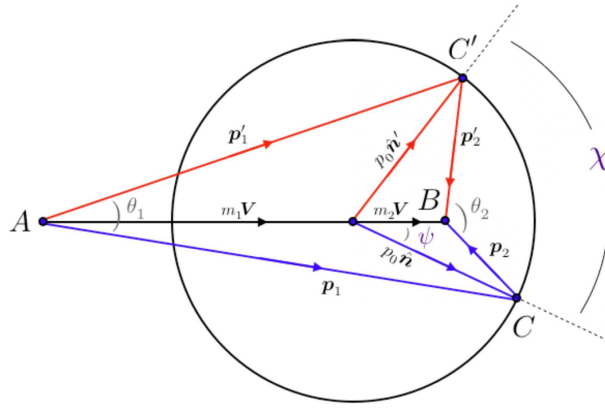


图 2: 摘自Arovas, 11.1。图中,  $p_1, p_2, p'_1, p'_2$  表示实验室坐标系中的动量,  $V$  表示质心速度,  $p_0 \hat{n} = \mu(\mathbf{v}_1 - \mathbf{v}_2)$  表示质心坐标系中粒子1的动量。注意图中的  $\theta_{1,2}$  为我们的  $\Theta_{1,2}$ , 而质心系散射角  $\theta$  为  $\hat{n}$  与  $\hat{n}'$  的夹角, 在图中标为  $\chi$ 。

实验室坐标系与质心坐标系的速度之间满足关系

$$\mathbf{v}_i^{\text{lab}} = \mathbf{V} + \mathbf{v}_i \quad (26)$$

进而

$$\mathbf{p}_i^{\text{lab}} = m_i \mathbf{v}_i^{\text{lab}} = m_i \mathbf{V} + m_i \mathbf{v}_i = m_i \mathbf{V} + \mathbf{p}_i \quad (27)$$

对  $i = 1, 2$  求和, 得  $\mathbf{p}_1 = -\mathbf{p}_2$ , 即在质心系中两个粒子动量相反。根据式27, 可以画出  $(1+2 \rightarrow 1'+2')$  散射前后的动量。从图2中, 根据几何关系, 可以求出碰撞后的散射角  $\theta_1$  和  $\theta_2$ 。

如果2粒子初始为静止, 则图中B与C重合, 1粒子在实验室坐标系中的散射角为

$$\tan \Theta_1 = \frac{m_2 \sin \theta}{m_1 + m_2 \cos \theta} \quad (28)$$

- 如果  $m_1 = m_2$ ,  $\tan \Theta_1 = \tan \frac{\theta}{2}$ , 即  $\theta = 2\Theta_1$ 。同时,  $\Theta_1 + \Theta_2 = \pi/2$ 。这正是桌球的一条基本规律。
- 如果  $m_1 > m_2$ , 则  $\sin \Theta_1 < m_2/m_1$ 。进一步, 如果  $m_1 \gg m_2$ , 则  $\Theta_1 \approx (m_2/m_1) \sin \theta$ 。这是这一点, 促使卢瑟福开始质疑汤姆森的果冻原子模型, 而随后提出了卢瑟福原子模型。
- 如果  $m_1 < m_2$ , 则  $\Theta_1$  可以为任意角度。进一步, 如果  $m_1 \ll m_2$ , 则  $\tan \Theta_1 \approx \tan \theta$ , 即实验室坐标系与质心坐标系几乎没有区别。

利用不同坐标系中的散射粒子数相同, 可以得到

$$\sigma^{\text{lab}}(\Theta) \sin \Theta d\Theta = \sigma(\theta) \sin \theta d\theta \quad (29)$$

利用式28可以得到

$$\cos \Theta_1 = \frac{\gamma + \cos \theta}{\sqrt{1 + 2\gamma \cos \theta + \gamma^2}} \quad (30)$$

其中,  $\gamma = m_1/m_2$ 。进而, 实验室坐标系下的微分散射截面可以表示为

$$\sigma^{\text{lab}}(\Theta_1) = \sigma(\theta) \frac{d \cos \theta}{d \cos \Theta} = \sigma(\theta) \frac{(1 + \gamma^2 + 2\gamma \cos \theta)^{3/2}}{1 + \gamma \cos \theta} \quad (31)$$

其中  $\theta(\Theta_1)$  由关系式28给出。

- 如果  $m_1 = m_2$ , 则  $\tan \Theta_1 = \tan(\theta/2)$ , 即  $\Theta_1 = \theta/2$ 。

$$\sigma^{\text{lab}}(\Theta_1) = 4 \cos \Theta \sigma(2\Theta) \quad (32)$$